

СТРУКТУРНАЯ ОРГАНИЗАЦИЯ ИКОСАЭДРИЧЕСКИХ КООРДИНАЦИОННЫХ МНОГОГРАННИКОВ В МОЛЕКУЛЯРНО-ДИНАМИЧЕСКОЙ МОДЕЛИ МЕТАЛЛИЧЕСКОГО СТЕКЛА $\text{Ni}_{60}\text{Ag}_{40}$

A. Ю. Прядильщиков^{a}, A. Т. Косилов^a, A. В. Евтеев^{a,b}, Е. В. Левченко^{a,b}*

^a Воронежский государственный технический университет
394026, Воронеж, Россия

^b The University of Newcastle, Callaghan
NSW 2308, Australia

Поступила в редакцию 4 февраля 2008 г.

В рамках метода молекулярной динамики и статистико-геометрического анализа изучены закономерности формирования структуры перколяционного кластера из взаимопроникающих и контактирующих между собой икосаэдров в процессе стеклования сплава $\text{Ni}_{60}\text{Ag}_{40}$. Представлены результаты анализа морфологии кластеров, образованных только из взаимопроникающих икосаэдров, и характера их сопряжения в перколяционном кластере.

PACS: 61.43.Bn, 61.43.Dq, 61.82.Bg, 64.70.P-, 64.70.Q-

1. ВВЕДЕНИЕ

Структура расплавов, аморфных твердых тел до сих пор остается одной из наиболее актуальных и до конца не решенных проблем физики неупорядоченных систем [1]. Фундаментальная идея об определяющей роли перколяционного перехода при стекловании, впервые сформулированная в рамках модели свободного объема в работе [2], позволила за последние годы существенно продвинуться в раскрытии закономерностей атомной перестройки в процессе самоорганизации аморфных материалов вблизи температуры стеклования [3–11]. Однако структура фрактальных кластеров, продиктованных физикой процессов стеклования, остается нераскрытой и является предметом самостоятельного изучения.

Экспериментальные результаты изучения ближнего порядка расположения атомов в расплавах и металлических стеклах чистых металлов и сплавов [12–18] свидетельствуют о том, что как в жидком, так и твердом аморфном состоянии структура проявляет икосаэдрическую симметрию, объемная доля которой растет в процессе закалки. Однако

ограниченные возможности инструментальных методов исследования не позволяют ответить на вопрос о закономерностях самоорганизации икосаэдрических структурных элементов и их перестройки в процессе стеклования. В этой связи большие надежды возлагаются на молекулярно-динамическое моделирование процессов стеклования. Этот метод позволяет анализировать пространственно-временные срезы конденсированной среды на всех этапах ее эволюции. Так, в работах [4–7] молекулярно-динамическим методом в рамках модели парного межчастичного взаимодействия на примере железа было показано, что в основе процессов стеклования чистых металлов в результате закалки из жидкой фазы лежит образование перколяционного кластера из взаимопроникающих и контактирующих между собой икосаэдров, в вершинах и центрах которых находятся атомы.

Аналогичные результаты были получены и в рамках модели двухкомпонентного сплава $\text{Ni}_{60}\text{Ag}_{40}$ [8], при построении которой использовались многочастичные потенциалы взаимодействия, рассчитанные в рамках метода погруженного атома. Как и в случае железа, в основе структурной перестройки спла-

*E-mail: alexeypr@inbox.ru

ва $\text{Ni}_{60}\text{Ag}_{40}$ в процессе стеклования при закалке из расплава также лежит образование перколяционного кластера из взаимопроникающих и контактирующих между собой икосаэдров, в центрах которых находятся преимущественно атомы Ni. Сформированная структура стекла состоит из плотноупакованного, пронизывающего весь объем разветвленного фрактального каркаса, образованного взаимопроникающими и контактирующими между собой икосаэдрами, на который приходится около 60 % всех атомов, и оставшейся структуры расплава, которая содержит около 40 % атомов.

Отсутствие трансляционной симметрии в перколяционном кластере вызывает трудности анализа его атомной структуры. Здесь необходим подход, который был бы основан на учете типа сопряжения между икосаэдрами и числа таких сопряжений для каждого икосаэдра. В настоящей работе на основе статистико-геометрического анализа взаимного расположения икосаэдров в модели металлического стекла $\text{Ni}_{60}\text{Ag}_{40}$ представлены результаты, раскрывающие некоторые закономерности структурной организации перколяционного кластера, а также морфологию и размерные характеристики его субструктурных элементов.

2. ОПИСАНИЕ МОДЕЛИ

Исходная модель расплава плотностью 9829 кг/м³ была построена при $T = 2300$ К путем случайной плотной упаковки 60000 атомов Ni и 40000 атомов Ag в основном кубе с периодическими граничными условиями. Взаимодействие между атомами рассчитывали в рамках метода погруженного атома [19]. Закалка расплава производилась со скоростью $4.4 \cdot 10^{12}$ К/с в интервале температур от 2300 К до 0.

Методика молекулярно-динамического расчета состояла в численном интегрировании уравнений движения с временным шагом $\Delta t = 1.5 \cdot 10^{-15}$ с по алгоритму Верле. Процедура закалки имела циклический характер и сводилась к ступенчатому понижению температуры на $\Delta T = 20$ К, поддержанию этой температуры в системе на протяжении $1000\Delta t$ и последующему отжигу в адиабатических условиях в течение $2000\Delta t$. Таким образом, продолжительность одного цикла составляла $3000\Delta t$ или $4.5 \cdot 10^{-12}$ с. Температура рассчитывалась путем усреднения полученных данных в течение последних 1000 шагов каждого цикла.

После каждого цикла методом статической релаксации атомы переводились в равновесные положе-

ния, фиксируя тем самым состояние системы при $T = 0$.

Структурная организация металлического стекла $\text{Ni}_{60}\text{Ag}_{40}$ изучалась в рамках статистико-геометрического анализа путем построения многогранников Вороного и кластерного анализа икосаэдрических координационных многогранников. Изучение структуры перколяционного кластера, формирование которого лежит в основе стеклования сплава [8], проводилось путем разбиения его на малые по размеру нанокластеры, образованные только взаимопроникающими икосаэдрами, и последующего анализа распределения их по размерам и морфологическим признакам.

3. РЕЗУЛЬТАТЫ И ИХ ОБСУЖДЕНИЕ

Икосаэдры в зависимости от их взаимного расположения в структуре стекла могут быть изолированными друг от друга, иметь общие вершины, грани или образовывать взаимопроникающие пары, как это показано на рис. 1. О наличии всех четырех вариантов взаимного сопряжения икосаэдров в структуре модели металлического стекла системы $\text{Ni}_{60}\text{Ag}_{40}$ свидетельствует показанная на рис. 2 парная функция радиального распределения атомов, находящихся в центрах икосаэдров. Первый пик соответствует контакту взаимопроникающих икосаэдров, второй — контакту икосаэдров по граням, а третий — контакту икосаэдров по вершинам. Штриховая вертикальная линия разделяет области взаимопроникающих и контактирующих между собой икосаэдров (слева) и изолированных друг от друга икосаэдров (справа).

Подобный характер взаимного расположения координационных многогранников наблюдается в кристаллах. Например, структуру ГЦК-кристалла можно представить как систему взаимопроникающих координационных многогранников — кубооктаэдров. Функция распределения для такой структуры представляет собой систему узких пиков для первой, второй, третьей и т. д. координационных сфер, которым соответствуют расстояния между центрами взаимопроникающих, контактирующих по граням, ребрам и т. д. кубооктаэдров. Совместимость симметрии кубооктаэдра с трансляционной симметрией обеспечивает заполнение кристаллического пространства взаимопроникающими кубооктаэдрами без каких-либо нарушений периодичности в расположении атомов [20].

Симметрия икосаэдров, содержащих оси пятого порядка, не совместима с трансляционной симметрией, поэтому заполнение пространства взаимопро-

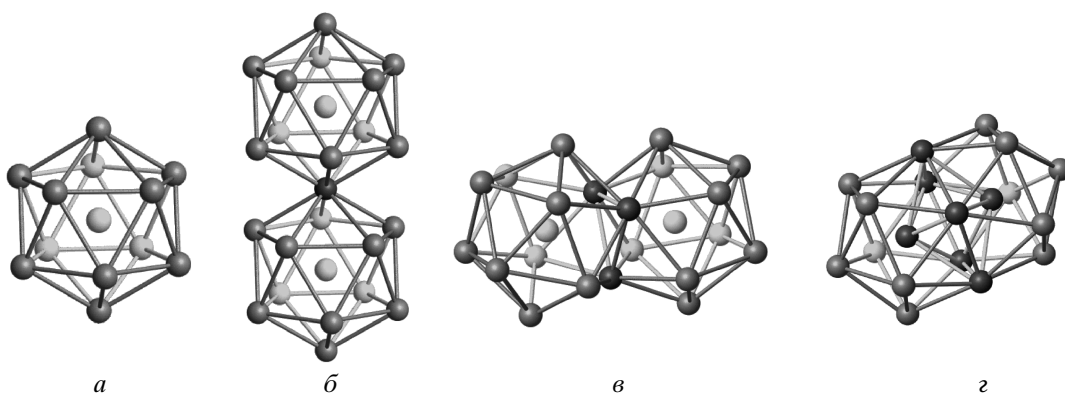


Рис. 1. Варианты взаимного расположения икосаэдров в металлическом стекле: *а* — изолированный икосаэдр, *б* — контакт по общей вершине, *в* — контакт по общей грани, *г* — взаимопроникающие икосаэдры

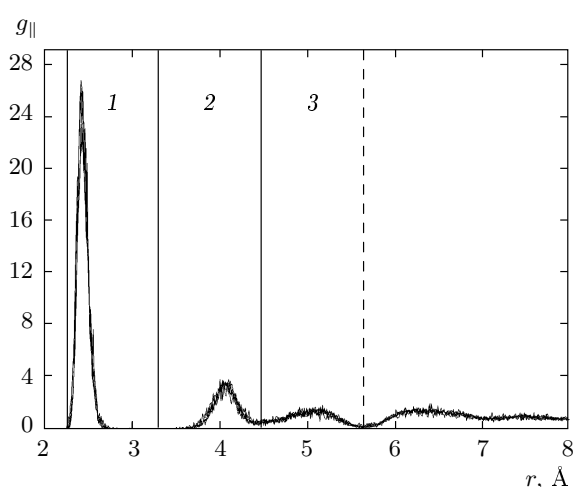


Рис. 2. Парная функция радиального распределения атомов, находящихся в центрах икосаэдров аморфного сплава $\text{Ni}_{60}\text{Ag}_{40}$

никающими икосаэдрами невозможно без нарушения периодичности их размещения, накопления полей внутренних напряжений. Поэтому представленные на рис. 2 пики парного радиального распределения атомов размыты. Устойчивыми структурными образованиями только из взаимопроникающих икосаэдров могут быть малые по размеру политетраэдрические нанокластеры — квазикристаллы, которые подобно зернам в нанокристаллических плотноупакованных металлических материалах имеют максимальную упаковку атомов и минимальную энергию. Взаимные контакты между такими нанокластерами, т. е. контакты икосаэдров, принадлежащих соседним нанокластерам по граням и вершинам, обеспечивают перколяцию. В настоящей работе исследования структурой организации проведены только для перв-

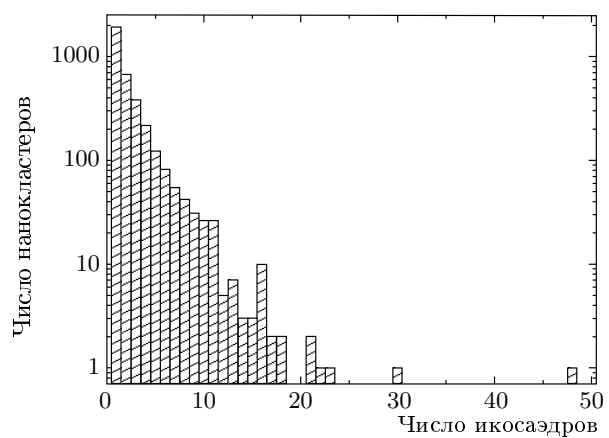


Рис. 3. Распределение нанокластеров по числу образующих эти нанокластеры взаимопроникающих икосаэдров для модели стекла $\text{Ni}_{60}\text{Ag}_{40}$ при $T = 0$

каляционного кластера, образованного взаимопроникающими и контактирующими между собой икосаэдрами.

На рис. 3 представлены результаты изучения распределения нанокластеров по количеству образующих эти нанокластеры икосаэдров в статически релаксированной модели стекла $\text{Ni}_{60}\text{Ag}_{40}$. Максимальное число нанокластеров приходится на одиночные икосаэдры, каждый из которых содержит по 13 атомов. С ростом числа икосаэдров в нанокластере число таких нанокластеров резко уменьшается. Некоторые наиболее крупные одиночные нанокластеры содержат 20 и более икосаэдров. Максимальный нанокластер содержал 48 икосаэдров, в построении которых задействовано 167 атомов.

На рис. 4 показаны взятые из модели для некоторых нанокластеров примеры взаимного расположе-

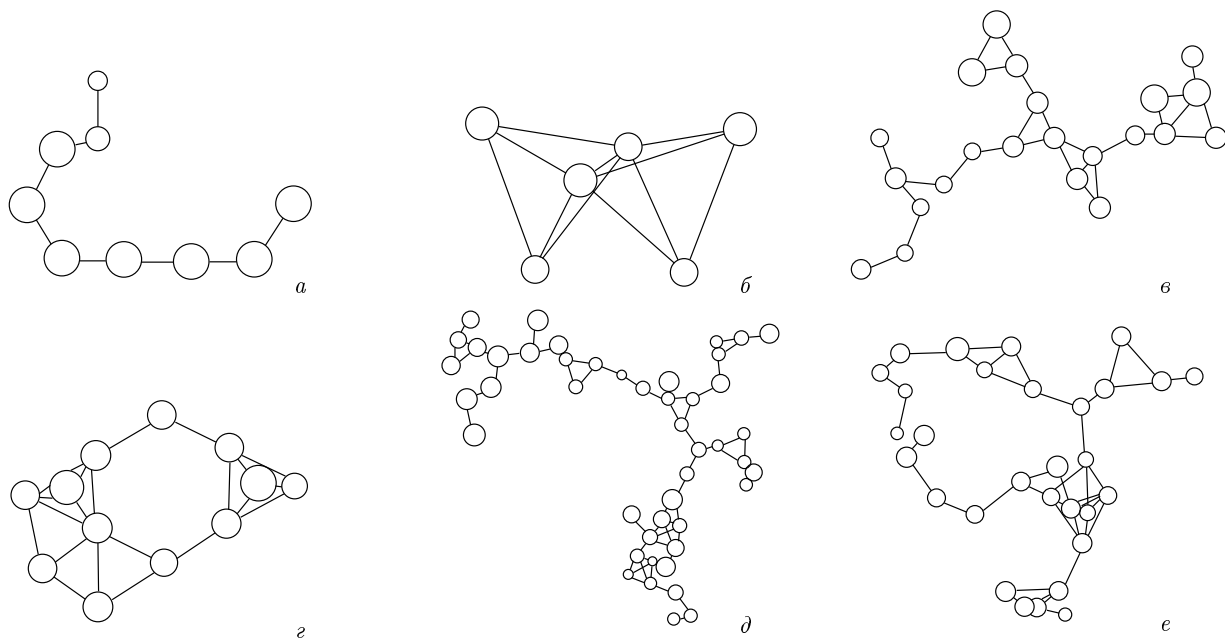


Рис. 4. Взаимное расположение атомов, находящихся в центрах взаимопроникающих икосаэдров, для некоторых кластеров модели стекла $\text{Ni}_{60}\text{Ag}_{40}$ при $T = 0$

ния атомов, находящихся только в центрах икосаэдров. Линии соединяют соседние атомы, находящиеся в центрах двух взаимопроникающих икосаэдров. Каждый кластер имеет определенное число икосаэдров N , количество взаимопроникающих связей между икосаэдрами Z и общее число атомов в кластере M . Соотношение между числом икосаэдров в кластере N и числом взаимопроникающих связей между икосаэдрами Z характеризует степень компактности нанокластера. Минимальной степенью компактности обладают нанокластеры, образующие цепочки из взаимопроникающих икосаэдров. В этом случае выполняется условие $Z = N - 1$, а число связей для каждого икосаэдра не превышает двух. Пример такого нанокластера, представленного атомами, находящимися в центрах взаимопроникающих икосаэдров, показан на рис. 4a. На рис. 4b показана конфигурация нанокластера максимальной степени упаковки. Нанокластер содержит 6 икосаэдров, в построении которого задействовано 30 атомов, и 12 взаимопроникающих связей. Основная доля нанокластеров имеет промежуточную степень компактности. Примеры таких нанокластеров показаны на рис. 4c–e.

Распределение нанокластеров по степени их компактности иллюстрирует рис. 5. Каждая точка на рисунке указывает на наличие одного или нескольких кластеров, образованных N икосаэдрами, которые имеют Z взаимопроникающих связей. На верх-

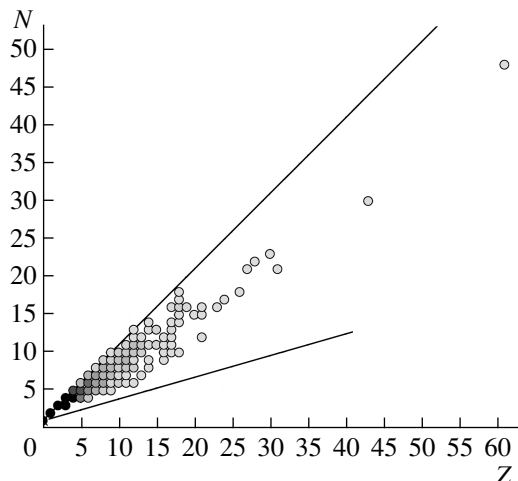


Рис. 5. Распределение нанокластеров по числу содержащихся в них икосаэдров N и числу взаимопроникающих связей Z при $T = 0$; верхняя ограничительная линия удовлетворяет условию $Z = N - 1$, нижняя ограничительная линия соединяет икосаэдр ($N = 1$, $Z = 0$, $M = 13$) и кластер Бергмана [15] ($N = 13$, $Z = 42$, $M = 45$). Цветовой градиент указывает на количество нанокластеров с определенными значениями Z и N (темнее — больше)

ней ограничительной линии, удовлетворяющей условию $Z = N - 1$, расположены нанокластеры с мини-

мальной степенью компактности (цепочки икосаэдров). Нижняя ограничительная линия проходит через два наиболее высокосимметричных плотноупакованных кластера — икосаэдр и кластер Бергмана [21].

Как отмечалось в работе [8], формирование переколяционного кластера из взаимопроникающих и контактирующих между собой икосаэдров в процессе закалки является результатом последовательного присоединения атомов к треугольным граням политетраэдрических зародышей, которые всегда присутствуют в исходном расплаве. При этом каждый вновь присоединившийся атом увеличивает число тетраэдров в зародыше на единицу. Известно [22], что при образовании икосаэдра из таких равносторонних тетраэдров возникает угловой «дефицит» в $7^{\circ}20'$, что в конечном итоге приводит к появлению внутренних напряжений. Эти напряжения в значительной степени возрастают, если в процессе дальнейшего присоединения тетраэдров к исходному икосаэдру атомы, находящиеся в его вершинах, оказываются центральными атомами вновь образованных икосаэдров. Максимальные напряжения возникают, когда все 12 вершинных атомов оказываются в центрах новых икосаэдров. Поэтому энергетически более выгодно увеличение размера кластера не в трех измерениях, а в одном. При этом образуются преимущественно разветвленные цепочки из взаимопроникающих икосаэдров. Максимальное число взаимопроникающих связей для одного икосаэдра обычно не превышает 6–7.

4. ЗАКЛЮЧЕНИЕ

В результате проведенных исследований установлено, что в основе структурной организации переколяционного кластера, образованного взаимопроникающими и контактирующими между собой икосаэдрами, металлического стекла $\text{Ni}_{60}\text{Ag}_{40}$ лежат малые по размеру квазикристаллы-нанокластеры. Нанокластеры представляют собой разветвленные цепочки взаимопроникающих икосаэдров, либо отдельные икосаэдры. Количество нанокластеров резко увеличивается с уменьшением их размеров. Число икосаэдров в нанокластерах находится в пределах от 1 до примерно 20, а число атомов, задействованных в их построении, — соответственно от 13 до примерно 80. В процессе стеклования рост таких нанокластеров из разных зародышей сопровождается их «столкновениями» друг с другом и появлением между ними контактов. Объединение отдельных нанокластеров в переколяционный, на который приходится

более 60 % атомов, является ключевым этапом в формировании металлического стекла.

ЛИТЕРАТУРА

1. F. Spaepen, *Nature* **408**, 781 (2000).
2. M. H. Cohen and G. S. Grest, *Phys. Rev. B* **20**, 1077 (1979).
3. N. N. Medvedev, A. Geiger, and W. Brostow, *J. Chem. Phys.* **93**, 8337 (1990).
4. А. В. Евтеев, А. Т. Косилов, Е. В. Левченко, Письма в ЖЭТФ **76**, 115 (2002).
5. А. В. Евтеев, А. Т. Косилов, Е. В. Левченко, ЖЭТФ **126**, 600 (2004).
6. А. В. Евтеев, А. Т. Косилов, Е. В. Левченко, и др., ЖЭТФ **128**, 607 (2005).
7. А. В. Евтеев, А. Т. Косилов, Е. В. Левченко и др., ФТТ **48**, 577 (2006).
8. А. Ю. Прядильщиков, А. Т. Косилов, А. В. Евтеев и др., ЖЭТФ **132**, 1352 (2007).
9. М. И. Ожован, Письма в ЖЭТФ **79**, 769 (2004).
10. М. И. Ожован, ЖЭТФ **130**, 944 (2006).
11. M. I. Ojovan and W. E. Lee, *J. Phys.: Condens. Matter* **18**, 11507 (2006).
12. H. Reicherd, O. Klein, H. Dosch et al., *Nature* **408**, 839 (2000).
13. T. Schenk, D. Holland-Moritz, V. Simonet et al., *Phys. Rev. Lett.* **89**, 075507-1-4 (2002).
14. D. Holland-Moritz, T. Schenk, R. Bellissent et al., *Non.-Cryst. Sol.* **312**, 47 (2002).
15. A. Di Cicco, A. Trapananti, S. Faggioni et al., *Phys. Rev. Lett.* **91**, 135505-1-4 (2003).
16. W. K. Luo, H. W. Sheng, F. M. Alamgir et al., *Phys. Rev. Lett.* **92**, 145502 (2004).
17. H. W. Sheng, W. K. Luo, F. M. Alamgir et al., *Nature* **439**, 419 (2006).
18. P. Ganesh and M. Widom, *Phys. Rev. B* **74**, 134205-1-7 (2006).
19. S. M. Foiles, *Phys. Rev. B* **32**, 3409 (1985).
20. Б. К. Вайнштейн, *Современная кристаллография*, т. 1, Наука, Москва (1979).
21. G. Bergman, J. L. T. Waugh, and L. Pauling, *Acta Cryst.* **10**, 254 (1957).
22. В. А. Лихачев, В. Е. Шудегов, *Принципы организации аморфных структур*, Изд-во Санкт-Петербургского университета, Санкт-Петербург (1999).